

DOI:10.61818/02910606

ISSN: 2965-0291



Boletim de monitoramento climático de grandes bacias hidrográficas: Bacia Amazônica

Volume 6, Número 06

Manaus, 11 de fevereiro de 2026



MINISTÉRIO DA
CIÊNCIA, TECNOLOGIA
E INOVAÇÃO



Boletim de monitoramento climático de grandes bacias hidrográficas: Bacia Amazônica

Editor Chefe Renato Cruz Senna

Meteorologista

Pesquisador - CODAM, INPA

Editoração Renato Cruz Senna

Tainá Sampaio Xavier Conchy Rocha

Adriano Nobre Arcos

Periodicidade Semanal

Revisão e Diagramação Inácio de Oliveira Lima Neto

Contato Instituto Nacional de Pesquisas da Amazônia - INPA

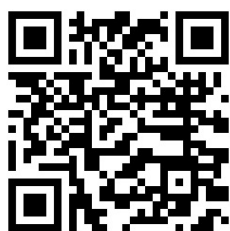
Av. André Araújo, 2.936 - Petrópolis

CEP 69067-375 - Manaus -AM, Brasil

E-mail: renato.senna@inpa.gov.br

clima.amazonia@inpa.gov.br

Telefone: (92) 3643 3154 / 3643-3170



www.instagram.com/clima.amazonia

Esta pesquisa foi apoiada como parte do Programa de Grande Escala da Biosfera-Atmosfera na Amazônia (LBA), coordenado pelo Instituto Nacional de Pesquisas da Amazônia (INPA), financiado pelo Ministério da Ciência, Tecnologia e Inovação (MCTI) entidade da administração direta do Governo Federal Brasileiro.



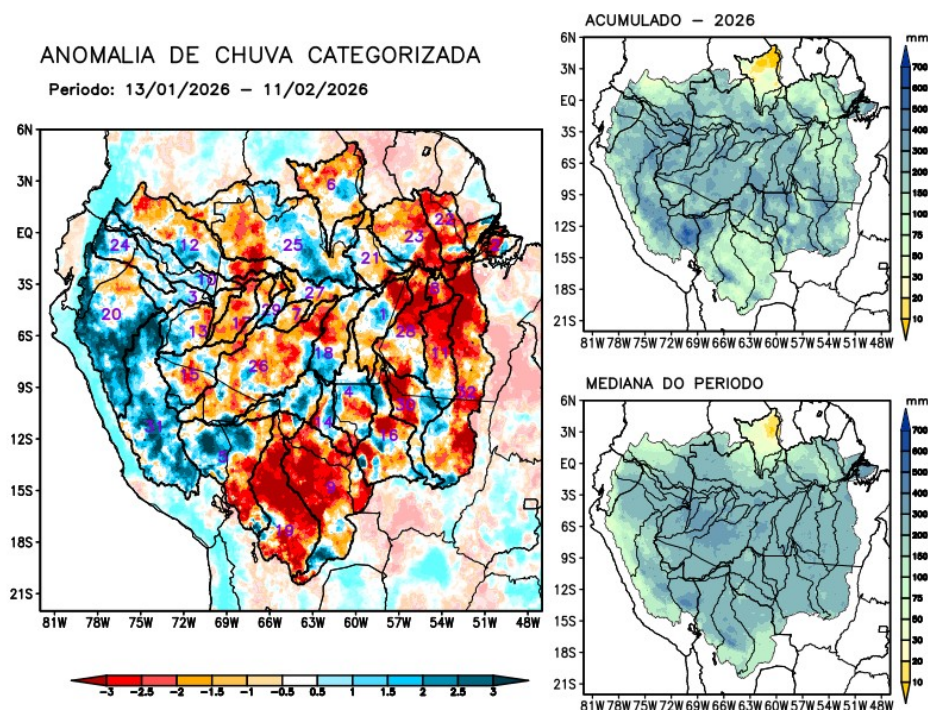
Esta obra está licenciada com uma Licença Creative Commons Atribuição - Não Comercial - Sem Derivações 4.0 Internacional.

Índice

Condições atuais	1
Bacia do Rio Branco	2
Bacia do Rio Negro	2
Bacia do Rio Marañon	2
Bacia do Rio Ucayali	3
Bacia do Rio Napo	3
Curso principal do Rio Amazonas (Peru)	3
Bacia do Rio Javari	4
Bacia do Rio Içá	4
Bacia do Rio Jutai	4
Bacia do Rio Juruá	5
Bacia do Rio Japurá	5
Bacia do Rio Tefé	5
Bacia do Rio Coari	6
Bacia do Rio Purus	6
Curso principal do Rio Solimões	6
Bacia do Rio Beni	7
Bacia do Rio Mamoré	7
Bacia do Rio Guaporé	7
Bacia do Rio Ji-Paraná	8
Bacia do Rio Aripuanã	8
Bacia do Rio Madeira	8
Bacias da margem esquerda do Rio Amazonas (Amazonas)	9
Bacia do Rio Abacaxis	9
Bacia do Rio Juruena	9
Bacia do Rio Teles Pires	10
Bacia do Rio Tapajós	10
Bacias da margem esquerda do Rio Amazonas (noroeste do Pará)	10
Bacia do Rio Curuá Una	11
Bacias da margem esquerda do Rio Amazonas (nordeste do Pará)	11
Bacia do Rio Iriri	11
Bacia do Rio Xingu	12
Curso principal do Rio Amazonas (Brasil)	12
Previsão multimodelo subsazonal	13
Valores de referência	15
Categorização das anomalias de precipitação	16
Comportamento semanal das anomalias (gráficos auxiliares)	17
Diagrama unifilar das bacias representadas	20

Condições atuais

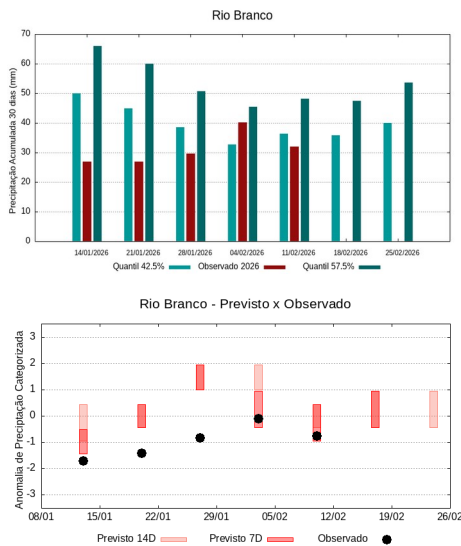
Mapas das condições observadas de precipitação e gráficos individuais por bacias são produzidos a partir dos dados MERGE/GPM gerados pelo INPE/CPTEC, considerando como climatologia para período de 2000 a 2025. **Entre os dias 13 de janeiro e 11 de fevereiro de 2026, chuvas abaixo da climatologia caracterizaram com déficit de precipitação o curso principal do Rio Amazonas em território brasileiro, bacias hidrográficas dos rios Abacaxis, Branco, Coari, Curuá Una, Guaporé, Iriri, Japurá, Juruena, Jutai, Mamoré, bacias da margem esquerda do Rio Amazonas no nordeste e no noroeste do Estado do Pará, Purus, Tapajós, Teles Pires, Xingu e o curso principal do Rio Solimões; chuvas acima da climatologia registradas sobre o curso principal do Rio Amazonas em território peruano, bacias dos rios Içá, Marañon, Napo e Ucayali; chuvas próximas da normalidade registradas sobre as bacias hidrográficas dos rios Aripuanã, Beni, Javari, Ji-Paraná, Juruá, Madeira, bacias da margem esquerda do Rio Amazonas no nordeste do Estado do Amazonas, Negro e Tefé. O multimodelo indica para as próximas semanas previsão de chuvas acima da climatologia concentradas sobre o noroeste da região monitorada; previsão de chuvas abaixo da climatologia sobre o curso principal do Rio Amazonas em território brasileiro, bacias dos rios Aripuanã, Beni, Curuá Una, Guaporé, Iriri, Ji-Paraná, Juruena, Mamoré, bacias da margem esquerda do Rio Amazonas no nordeste e no noroeste do Estado do Pará, Tapajós, Teles Pires e Xingu.**



1	Abacaxis	9	Guaporé	17	Jutai	25	Negro
2	Amazonas (BR)	10	Içá	18	Madeira	26	Purus
3	Amazonas (PE)	11	Iriri	19	Mamoré	27	Solimões
4	Aripuanã	12	Japurá	20	Marañon	28	Tapajós
5	Beni	13	Javari	21	Marg Esq (AM)	29	Tefé
6	Branco	14	Ji-Paraná	22	Marg Esq (PA) NE	30	Teles Pires
7	Coari	15	Juruá	23	Marg Esq (PA) NW	31	Ucayali
8	Curuá Una	16	Juruena	24	Napo	32	Xingu

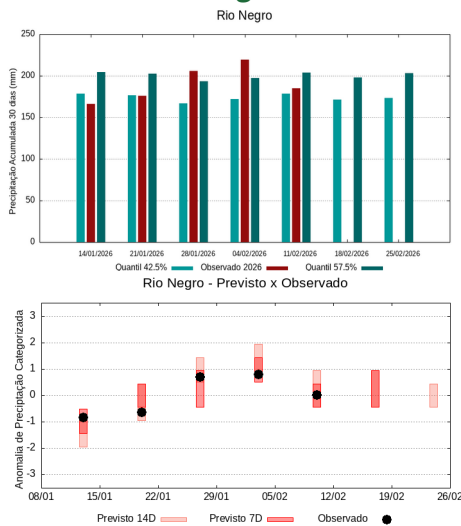
Análise individual por bacia hidrográfica

Bacia do Rio Branco



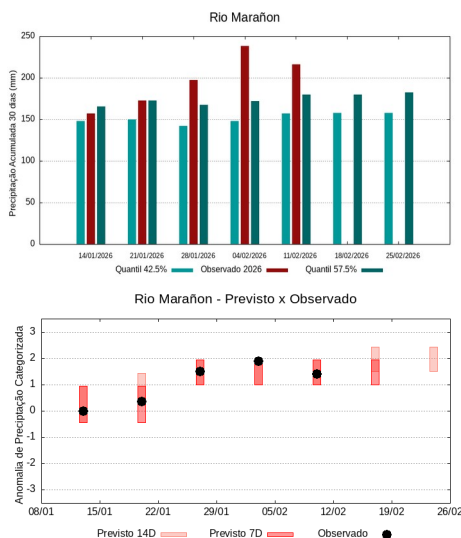
A climatologia do período em análise indica chuvas com registros variando entre **36 e 48 mm** sendo considerados normais (referência quantis 42.5% e 57.5%). Em **11 de fevereiro de 2026**, foram observados **32 mm** de precipitação média acumulada sobre a bacia em 30 dias, o cálculo da média do índice de anomalia categorizada na área da bacia o valor de **-0.8**, classifica a bacia em condição de **tendência a seco**. Nas próximas semanas o comportamento climático indica **elevação** dos volumes de chuva, o modelo de prognóstico subsazonal sugere um comportamento **próximo da normalidade ou tendência a chuvoso**.

Bacia do Rio Negro



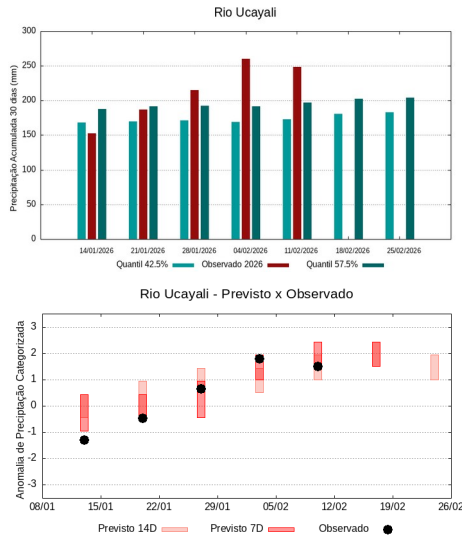
A climatologia do período em análise indica chuvas com registros variando entre **179 e 204 mm** sendo considerados normais (referência quantis 42.5% e 57.5%). Em **11 de fevereiro de 2026**, foram observados **185 mm** de precipitação média acumulada sobre a bacia em 30 dias, no cálculo da média do índice de anomalia categorizada na área da bacia o valor de **-0.2**, classifica a bacia em condição de **normalidade**. Nas próximas semanas o comportamento climático indica **manutenção** dos volumes de chuva, o modelo de prognóstico subsazonal sugere um comportamento **próximo da normalidade ou tendência a chuvoso**.

Bacia do Rio Marañon



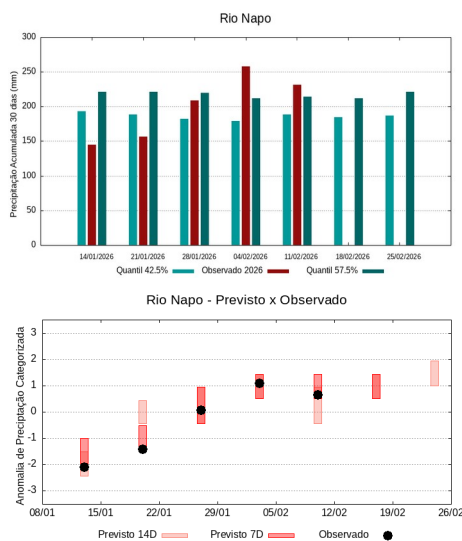
A climatologia do período em análise indica chuvas com registros variando entre **157 e 180 mm** sendo considerados normais (referência quantis 42.5% e 57.5%). Em **11 de fevereiro de 2026**, foram observados **216 mm** de precipitação média acumulada sobre a bacia em 30 dias, no cálculo da média do índice de anomalia categorizada na área da bacia o valor de **1.3**, classifica a bacia em condição de **chuvoso**. Nas próximas semanas o comportamento climático indica **manutenção** dos volumes de chuva, o modelo de prognóstico subsazonal sugere um comportamento **chuvoso ou tendência a muito chuvoso**.

Bacia do Rio Ucayali



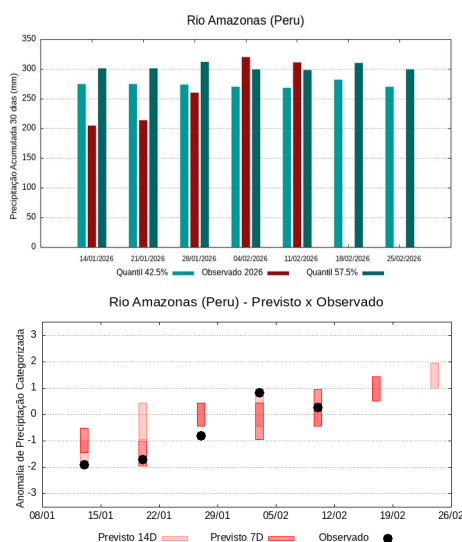
A climatologia do período em análise indica chuvas com registros variando entre **173 e 197 mm** sendo considerados normais (referência quantis 42.5% e 57.5%). Em **11 de fevereiro de 2026**, foram observados **249 mm** de precipitação média acumulada sobre a bacia em 30 dias, no cálculo da média do índice de anomalia categorizada na área da bacia o valor de **1.4**, classifica a bacia em condição de **chuvoso**. Nas próximas semanas o comportamento climático indica **manutenção** dos volumes de chuva, o modelo de prognóstico subsazonal sugere um comportamento **muito chuvoso ou tendência a muito chuvoso**.

Bacia do Rio Napo



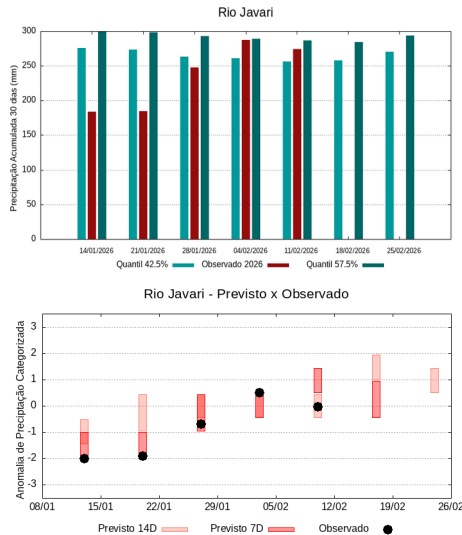
A climatologia do período em análise indica chuvas com registros variando entre **188 e 214 mm** sendo considerados normais (referência quantis 42.5% e 57.5%). Em **11 de fevereiro de 2026**, foram observados **231 mm** de precipitação média acumulada sobre a bacia em 30 dias, no cálculo da média do índice de anomalia categorizada na área da bacia o valor de **0.6**, classifica a bacia em condição de **tendência a chuvoso**. Nas próximas semanas o comportamento climático indica **manutenção** dos volumes de chuva, o modelo de prognóstico subsazonal sugere um comportamento **chuvoso ou tendência a chuvoso**.

Curso principal do Rio Amazonas (Peru)



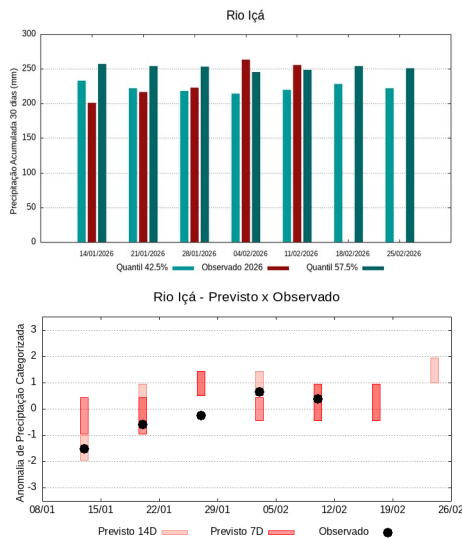
A climatologia do período em análise indica chuvas com registros variando entre **268 e 298 mm** sendo considerados normais (referência quantis 42.5% e 57.5%). Em **11 de fevereiro de 2026**, foram observados **311 mm** de precipitação média acumulada sobre a bacia em 30 dias, no cálculo da média do índice de anomalia categorizada na área da bacia o valor de **0.5**, classifica a bacia em condição de **tendência a chuvoso**. Nas próximas semanas o comportamento climático indica **manutenção** dos volumes de chuva, o modelo de prognóstico subsazonal sugere um comportamento **chuvoso ou tendência a chuvoso**.

Bacia do Rio Javari



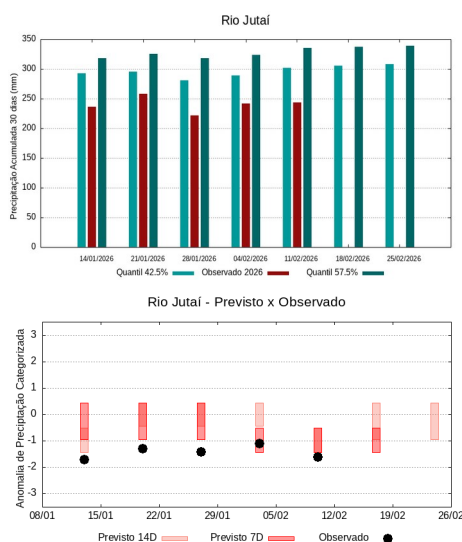
A climatologia do período em análise indica chuvas com registros variando entre **256 e 287 mm** sendo considerados normais (referência quantis 42.5% e 57.5%). Em **11 de fevereiro de 2026**, foram observados **274 mm** de precipitação média acumulada sobre a bacia em 30 dias, no cálculo da média do índice de anomalia categorizada na área da bacia o valor de **0.1**, classifica a bacia em condição de **normalidade**. Nas próximas semanas o comportamento climático indica **manutenção** dos volumes de chuva, o modelo de prognóstico subsazonal sugere um comportamento **próximo da normalidade ou tendência a chuvoso**.

Bacia do Rio Içá (Putumayo)



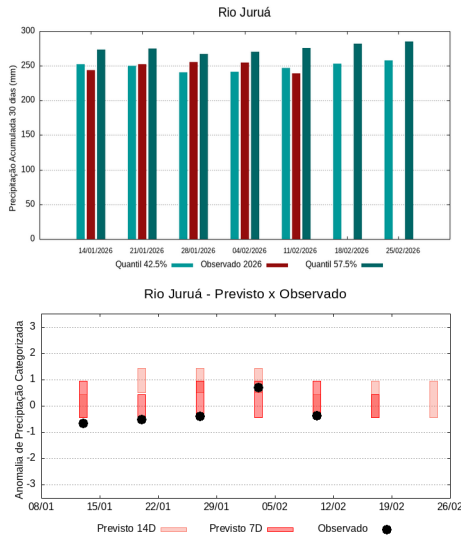
A climatologia do período em análise indica chuvas com registros variando entre **220 e 248 mm** sendo considerados normais (referência quantis 42.5% e 57.5%). Em **11 de fevereiro de 2026**, foram observados **256 mm** de precipitação média acumulada sobre a bacia em 30 dias, no cálculo da média do índice de anomalia categorizada na área da bacia o valor de **0.5**, classifica a bacia em condição de **tendência a chuvoso**. Nas próximas semanas o comportamento climático indica **manutenção** dos volumes de chuva, o modelo de prognóstico subsazonal sugere um comportamento **próximo da normalidade ou tendência a chuvoso**.

Bacia do Rio Jutai



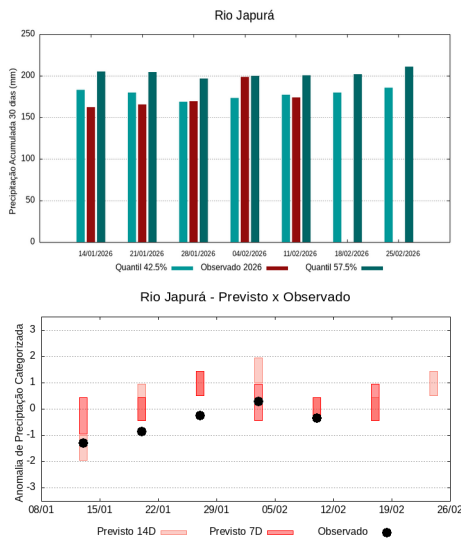
A climatologia do período em análise indica chuvas com registros variando entre **302 e 336 mm** sendo considerados normais (referência quantis 42.5% e 57.5%). Em **11 de fevereiro de 2026**, foram observados **243 mm** de precipitação média acumulada sobre a bacia em 30 dias, no cálculo da média do índice de anomalia categorizada na área da bacia o valor de **-1.5**, classifica a bacia em condição de **tendência a muito seco**. Nas próximas semanas o comportamento climático indica **manutenção** dos volumes de chuva, o modelo de prognóstico subsazonal sugere um comportamento **seco ou tendência a seco**.

Bacia do Rio Juruá



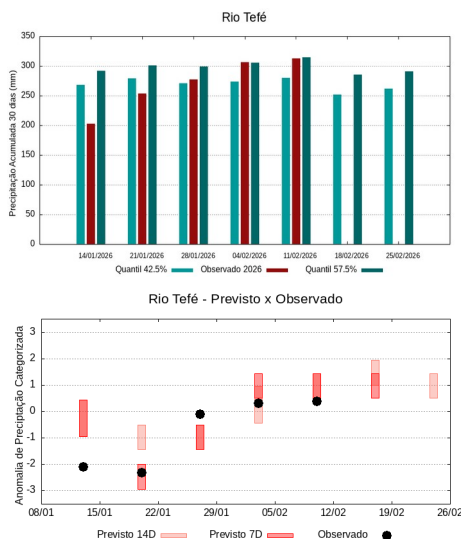
A climatologia do período em análise indica chuvas com registros variando entre **247 e 276 mm** sendo considerados normais (referência quantis 42.5% e 57.5%). Em **11 de fevereiro de 2026**, foram observados **239 mm** de precipitação média acumulada sobre a bacia em 30 dias, no cálculo da média do índice de anomalia categorizada na área da bacia o valor de **-0.4**, classifica a bacia em condição de **normalidade**. Nas próximas semanas o comportamento climático indica **manutenção** dos volumes de chuva, o modelo de prognóstico subsazonal sugere um comportamento **próximo da normalidade**.

Bacia do Rio Japurá (Caquetá)



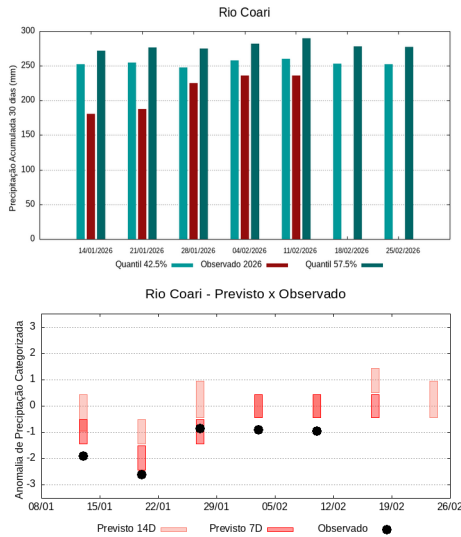
A climatologia do período em análise indica chuvas com registros variando entre **177 e 201 mm** sendo considerados normais (referência quantis 42.5% e 57.5%). Em **11 de fevereiro de 2026**, foram observados **174 mm** de precipitação média acumulada sobre a bacia em 30 dias, no cálculo da média do índice de anomalia categorizada na área da bacia o valor de **-0.5**, classifica a bacia em condição de **tendência a seco**. Nas próximas semanas o comportamento climático indica **manutenção** dos volumes de chuva, o modelo de prognóstico subsazonal sugere um comportamento **próximo da normalidade ou tendência a chuvoso**.

Bacia do Rio Tefé



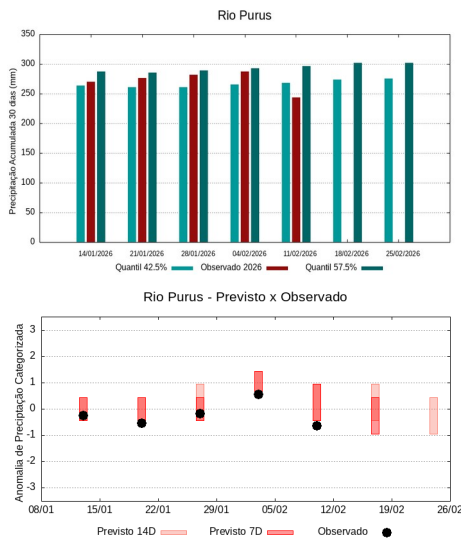
A climatologia do período em análise indica chuvas com registros variando entre **280 e 315 mm** sendo considerados normais (referência quantis 42.5% e 57.5%). Em **11 de fevereiro de 2026**, foram observados **312 mm** de precipitação média acumulada sobre a bacia em 30 dias, no cálculo da média do índice de anomalia categorizada na área da bacia o valor de **0.3**, classifica a bacia em condição de **normalidade**. Nas próximas semanas o comportamento climático indica **redução** dos volumes de chuva, o modelo de prognóstico subsazonal sugere um comportamento **chuvoso ou tendência a chuvoso**.

Bacia do Rio Coari



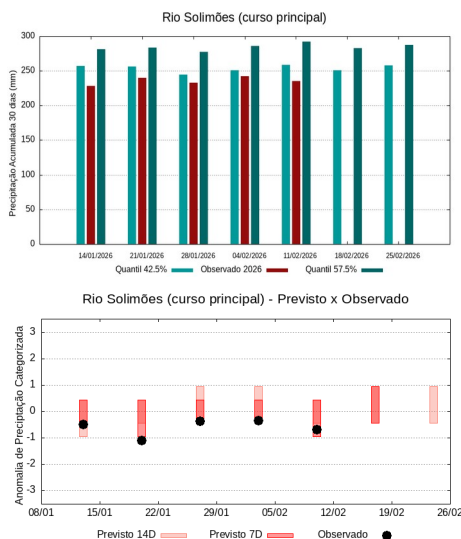
A climatologia do período em análise indica chuvas com registros variando entre **261 e 290 mm** sendo considerados normais (referência quantis 42.5% e 57.5%). Em **11 de fevereiro de 2026**, foram observados **236 mm** de precipitação média acumulada sobre a bacia em 30 dias, no cálculo da média do índice de anomalia categorizada na área da bacia o valor de **-1.0**, classifica a bacia em condição de **seco**. Nas próximas semanas o comportamento climático indica **manutenção** dos volumes de chuva, o modelo de prognóstico subsazonal sugere um comportamento **próximo da normalidade**.

Bacia do Rio Purus



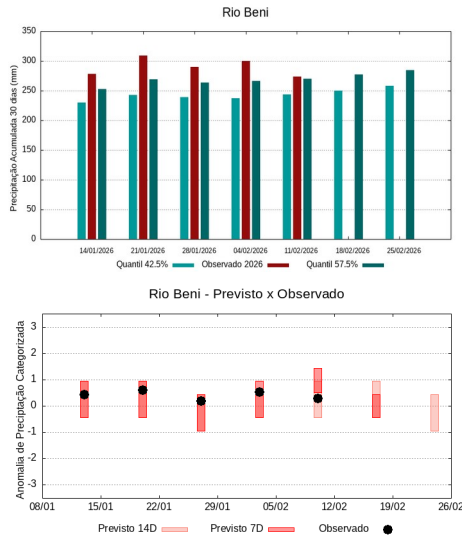
A climatologia do período em análise indica chuvas com registros variando entre **268 e 296 mm** sendo considerados normais (referência quantis 42.5% e 57.5%). Em **11 de fevereiro de 2026**, foram observados **244 mm** de precipitação média acumulada sobre a bacia em 30 dias, no cálculo da média do índice de anomalia categorizada na área da bacia o valor de **-0.9**, classifica a bacia em condição de **tendência a seco**. Nas próximas semanas o comportamento climático indica **manutenção** dos volumes de chuva, o modelo de prognóstico subsazonal sugere um comportamento **próximo da normalidade ou tendência a seco**.

Curso principal do Rio Solimões



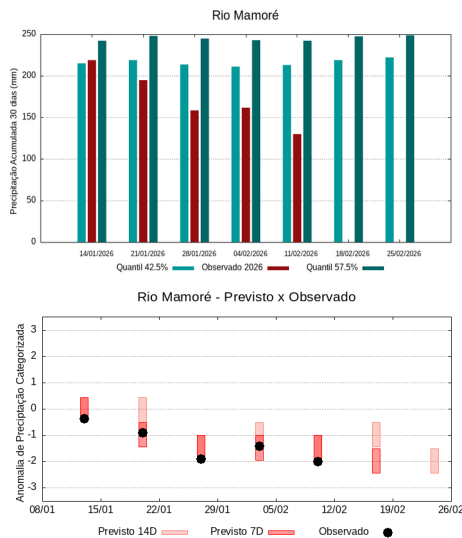
A climatologia do período em análise indica chuvas com registros variando entre **259 e 292 mm** sendo considerados normais (referência quantis 42.5% e 57.5%). Em **11 de fevereiro de 2026**, foram observados **235 mm** de precipitação média acumulada sobre a bacia em 30 dias, no cálculo da média do índice de anomalia categorizada na área da bacia o valor de **-0.8**, classifica a bacia em condição de **tendência a seco**. Nas próximas semanas o comportamento climático indica **manutenção** dos volumes de chuva, o modelo de prognóstico subsazonal sugere um comportamento **próximo da normalidade ou tendência a chuvoso**.

Bacia dos rios Beni e Madre de Dios



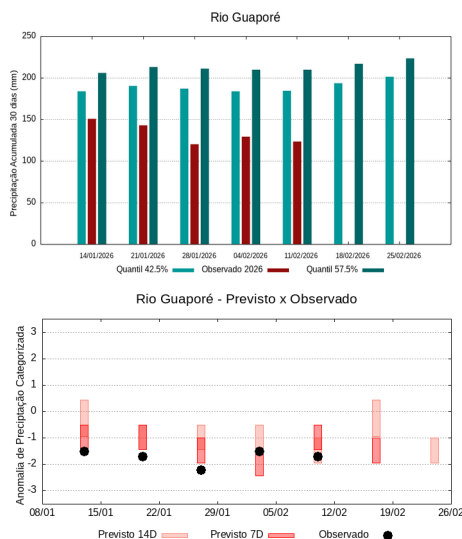
A climatologia do período em análise indica chuvas com registros variando entre **243 e 270 mm** sendo considerados normais (referência quantis 42.5% e 57.5%). Em **11 de fevereiro de 2026**, foram observados **274 mm** de precipitação média acumulada sobre a bacia em 30 dias, no cálculo da média do índice de anomalia categorizada na área da bacia o valor de **0.0**, classifica a bacia em condição de **normalidade**. Nas próximas semanas o comportamento climático indica **manutenção** dos volumes de chuva, o modelo de prognóstico subsazonal sugere um comportamento **próximo da normalidade**.

Bacia do Rio Mamoré



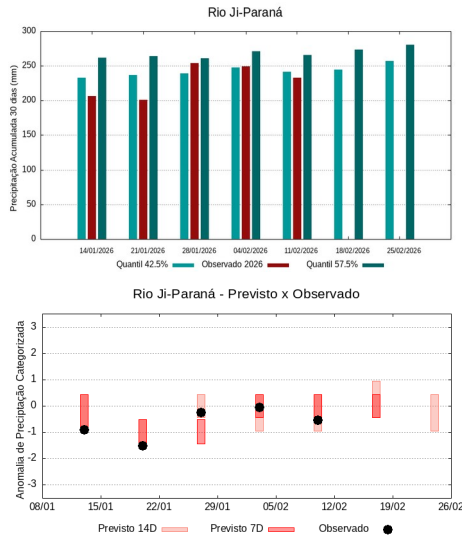
A climatologia do período em análise indica chuvas com registros variando entre **213 e 242 mm** sendo considerados normais (referência quantis 42.5% e 57.5%). Em **11 de fevereiro de 2026**, foram observados **130 mm** de precipitação média acumulada sobre a bacia em 30 dias, no cálculo da média do índice de anomalia categorizada na área da bacia o valor de **-2.1**, classifica a bacia em condição de **muito seco**. Nas próximas semanas o comportamento climático indica **manutenção** dos volumes de chuva, o modelo de prognóstico subsazonal sugere um comportamento **muito seco ou tendência a muito seco**.

Bacia do Rio Guaporé (Iténez)



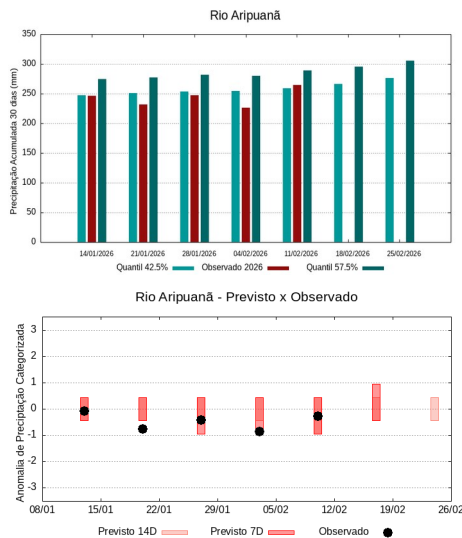
A climatologia do período em análise indica chuvas com registros variando entre **185 e 210 mm** sendo considerados normais (referência quantis 42.5% e 57.5%). Em **11 de fevereiro de 2026**, foram observados **123 mm** de precipitação média acumulada sobre a bacia em 30 dias, no cálculo da média do índice de anomalia categorizada na área da bacia o valor de **-1.8**, classifica a bacia em condição de **tendência a muito seco**. Nas próximas semanas o comportamento climático indica **manutenção** dos volumes de chuva, o modelo de prognóstico subsazonal sugere um comportamento **seco ou tendência a muito seco**.

Bacia do Rio Ji-Paraná



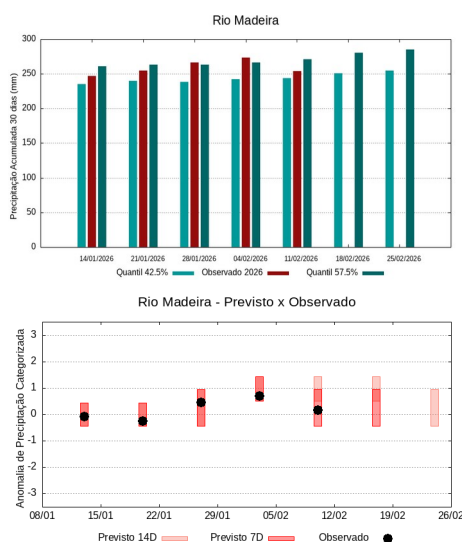
A climatologia do período em análise indica chuvas com registros variando entre **241 e 266 mm** sendo considerados normais (referência quantis 42.5% e 57.5%). Em **11 de fevereiro de 2026**, foram observados **233 mm** de precipitação média acumulada sobre a bacia em 30 dias, no cálculo da média do índice de anomalia categorizada na área da bacia, o valor de **-0.4**, classifica a bacia em condição de **normalidade**. Nas próximas semanas o comportamento climático indica **manutenção** dos volumes de chuva, o modelo de prognóstico subsazonal sugere um comportamento **próximo da normalidade**.

Bacia do Rio Aripuanã



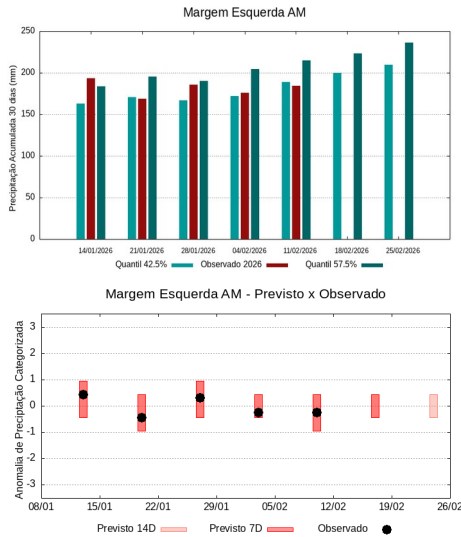
A climatologia do período em análise indica chuvas com registros variando entre **259 e 289 mm** sendo considerados normais (referência quantis 42.5% e 57.5%). Em **11 de fevereiro de 2026**, foram observados **264 mm** de precipitação média acumulada sobre a bacia em 30 dias, no cálculo da média do índice de anomalia categorizada na área da bacia o valor de **-0.3**, classifica a bacia em condição de **normalidade**. Nas próximas semanas o comportamento climático indica **manutenção** dos volumes de chuva, o modelo de prognóstico subsazonal sugere um comportamento **próximo da normalidade ou tendência a chuvoso**.

Bacia do Rio Madeira



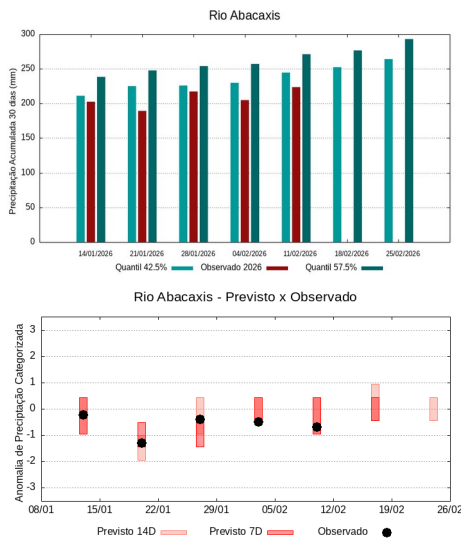
A climatologia do período em análise indica chuvas com registros variando entre **244 e 271 mm** sendo considerados normais (referência quantis 42.5% e 57.5%). Em **11 de fevereiro de 2026**, foram observados **254 mm** de precipitação média acumulada sobre a bacia em 30 dias, no cálculo da média do índice de anomalia categorizada na área da bacia o valor de **0.0**, classifica a bacia em condição de **normalidade**. Nas próximas semanas o comportamento climático indica **manutenção** dos volumes de chuva, o modelo de prognóstico subsazonal sugere um comportamento **próximo da normalidade ou tendência a chuvoso**.

Bacias da margem esquerda do Rio Amazonas (Amazonas)



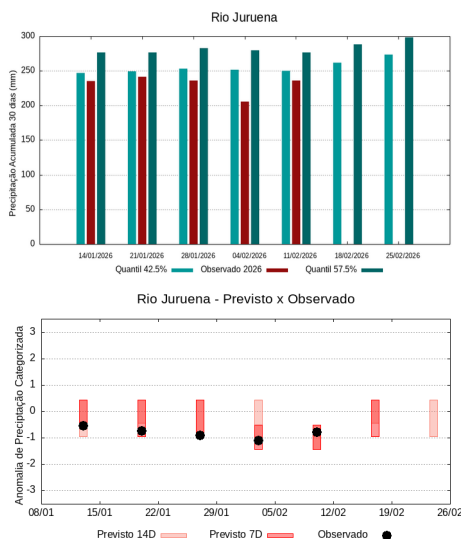
A climatologia do período em análise indica chuvas com registros variando entre **189 e 215 mm** sendo considerados normais (referência quantis 42.5% e 57.5%). Em **11 de fevereiro de 2026**, foram observados **185 mm** de precipitação média acumulada sobre a bacia em 30 dias, no cálculo da média do índice de anomalia categorizada na área da bacia o valor de **-0.3**, classifica a bacia em condição de **normalidade**. Nas próximas semanas o comportamento climático indica **elevação** dos volumes de chuva, o modelo de prognóstico subsazonal sugere um comportamento **próximo da normalidade**.

Bacia do Rio Abacaxis



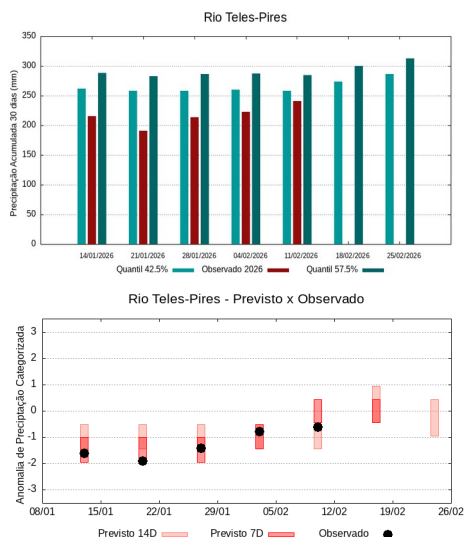
A climatologia do período em análise indica chuvas com registros variando entre **244 e 271 mm** sendo considerados normais (referência quantis 42.5% e 57.5%). Em **11 de fevereiro de 2026**, foram observados **223 mm** de precipitação média acumulada sobre a bacia em 30 dias, no cálculo da média do índice de anomalia categorizada na área da bacia o valor de **-0.8**, classifica a bacia em condição de **tendência a seco**. Nas próximas semanas o comportamento climático indica **elevação** dos volumes de chuva, o modelo de prognóstico subsazonal sugere um comportamento **próximo da normalidade**.

Bacia do Rio Juruena



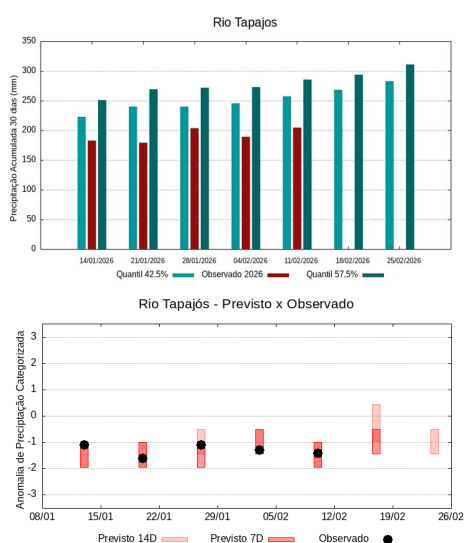
A climatologia do período em análise indica chuvas com registros variando entre **250 e 276 mm** sendo considerados normais (referência quantis 42.5% e 57.5%). Em **11 de fevereiro de 2026**, foram observados **236 mm** de precipitação média acumulada sobre a bacia em 30 dias, no cálculo da média do índice de anomalia categorizada na área da bacia o valor de **-0.7**, classifica a bacia em condição de **tendência a seco**. Nas próximas semanas o comportamento climático indica **elevação** dos volumes de chuva, o modelo de prognóstico subsazonal sugere um comportamento **próximo da normalidade ou tendência a seco**.

Bacia do Rio Teles Pires



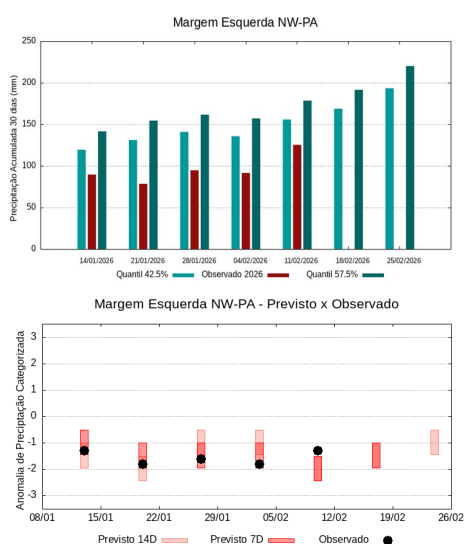
A climatologia do período em análise indica chuvas com registros variando entre **258 e 284 mm** sendo considerados normais (referência quantis 42.5% e 57.5%). Em **11 de fevereiro de 2026**, foram observados **241 mm** de precipitação média acumulada sobre a bacia em 30 dias, no cálculo da média do índice de anomalia categorizada na área da bacia o valor de **-0.7**, classifica a bacia em condição de **tendência a seco**. Nas próximas semanas o comportamento climático indica **elevação** dos volumes de chuva, o modelo de prognóstico subsazonal sugere um comportamento **próximo da normalidade**.

Bacia do Rio Tapajós



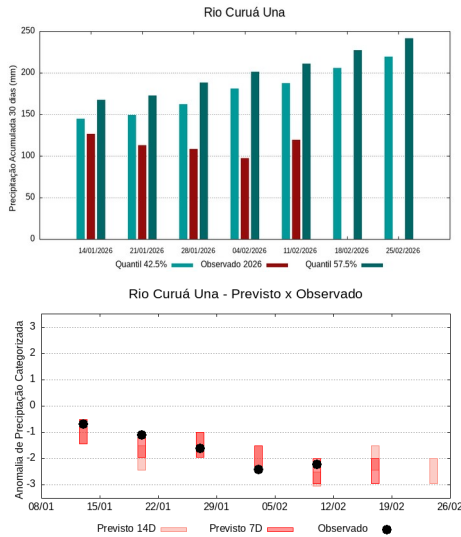
A climatologia do período em análise indica chuvas com registros variando entre **258 e 286 mm** sendo considerados normais (referência quantis 42.5% e 57.5%). Em **11 de fevereiro de 2026**, foram observados **205 mm** de precipitação média acumulada sobre a bacia em 30 dias, no cálculo da média do índice de anomalia categorizada na área da bacia o valor de **-1.5**, classifica a bacia em condição de **tendência a muito seco**. Nas próximas semanas o comportamento climático indica **elevação** dos volumes de chuva, o modelo de prognóstico subsazonal sugere um comportamento **seco ou tendência a seco**.

Bacias da margem esquerda do Rio Amazonas (noroeste do Pará)



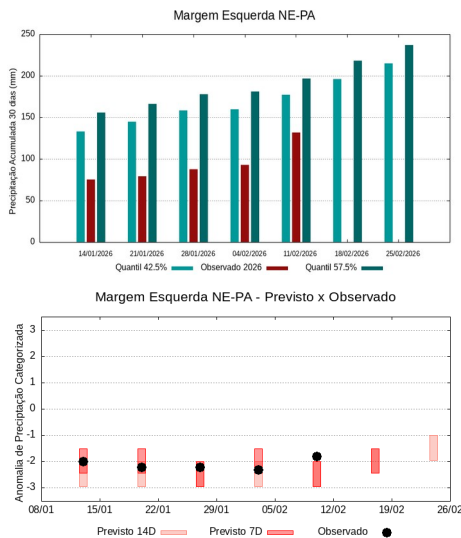
A climatologia do período em análise indica chuvas com registros variando entre **156 e 179 mm** sendo considerados normais (referência quantis 42.5% e 57.5%). Em **11 de fevereiro de 2026**, foram observados **126 mm** de precipitação média acumulada sobre a bacia em 30 dias, no cálculo da média do índice de anomalia categorizada na área da bacia o valor de **-1.3**, classifica a bacia em condição de **seco**. Nas próximas semanas o comportamento climático indica **elevação** dos volumes de chuva, o modelo de prognóstico subsazonal sugere um comportamento **seco ou tendência a muito seco**.

Bacia do Rio Curuá Una



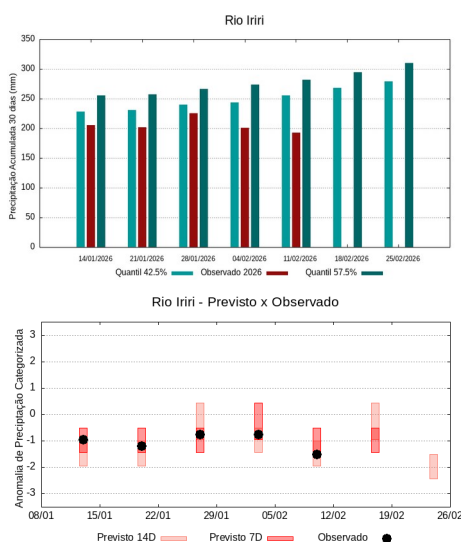
A climatologia do período em análise indica chuvas com registros variando entre **187 e 211 mm** sendo considerados normais (referência quantis 42.5% e 57.5%). Em **11 de fevereiro de 2026**, foram observados **119 mm** de precipitação média acumulada sobre a bacia em 30 dias, no cálculo da média do índice de anomalia categorizada na área da bacia o valor de **-2.2**, classifica a bacia em condição de **muito seco**. Nas próximas semanas o comportamento climático indica **elevação** dos volumes de chuva, o modelo de prognóstico subsazonal sugere um comportamento **muito seco ou tendência a extremamente seco**.

Bacias da margem esquerda do Rio Amazonas (nordeste do PA)



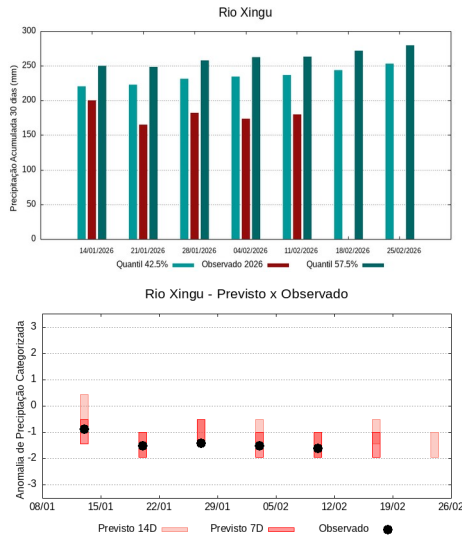
A climatologia do período em análise indica chuvas com registros variando entre **177 e 197 mm** sendo considerados normais (referência quantis 42.5% e 57.5%). Em **11 de fevereiro de 2026**, foram observados **132 mm** de precipitação média acumulada sobre a bacia em 30 dias, no cálculo da média do índice de anomalia categorizada na área da bacia o valor de **-1.8**, classifica a bacia em condição de **tendência a muito seco**. Nas próximas semanas o comportamento climático indica **elevação** dos volumes de chuva, o modelo de prognóstico subsazonal sugere um comportamento **muito seco ou tendência a muito seco**.

Bacia do Rio Iriri



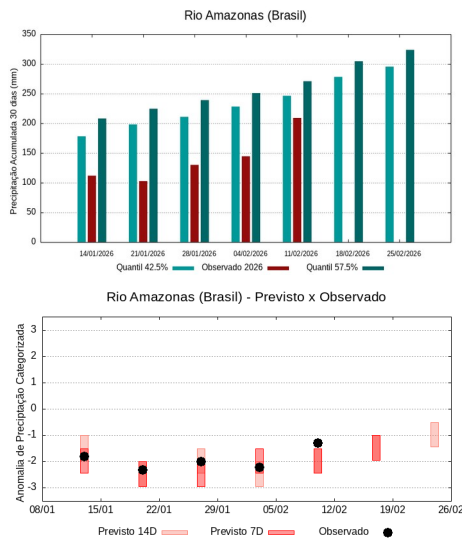
A climatologia do período em análise indica chuvas com registros variando entre **255 e 281 mm** sendo considerados normais (referência quantis 42.5% e 57.5%). Em **11 de fevereiro de 2026**, foram observados **192 mm** de precipitação média acumulada sobre a bacia em 30 dias, no cálculo da média do índice de anomalia categorizada na área da bacia o valor de **-1.6**, classifica a bacia em condição de **tendência a muito seco**. Nas próximas semanas o comportamento climático indica **elevação** dos volumes de chuva, o modelo de prognóstico subsazonal sugere um comportamento **seco ou tendência a seco**.

Bacia do Rio Xingu



A climatologia do período em análise indica chuvas com registros variando entre **237 e 263 mm** sendo considerados normais (referência quantis 42.5% e 57.5%). Em **11 de fevereiro de 2026**, foram observados **180 mm** de precipitação média acumulada sobre a bacia em 30 dias, no cálculo da média do índice de anomalia categorizada na área da bacia o valor de **-1.7**, classifica a bacia em condição de **tendência a muito seco**. Nas próximas semanas o comportamento climático indica **manutenção** dos volumes de chuva, o modelo de prognóstico subsazonal sugere um comportamento **seco ou tendência a muito seco**.

Curso principal do Rio Amazonas (Brasil)

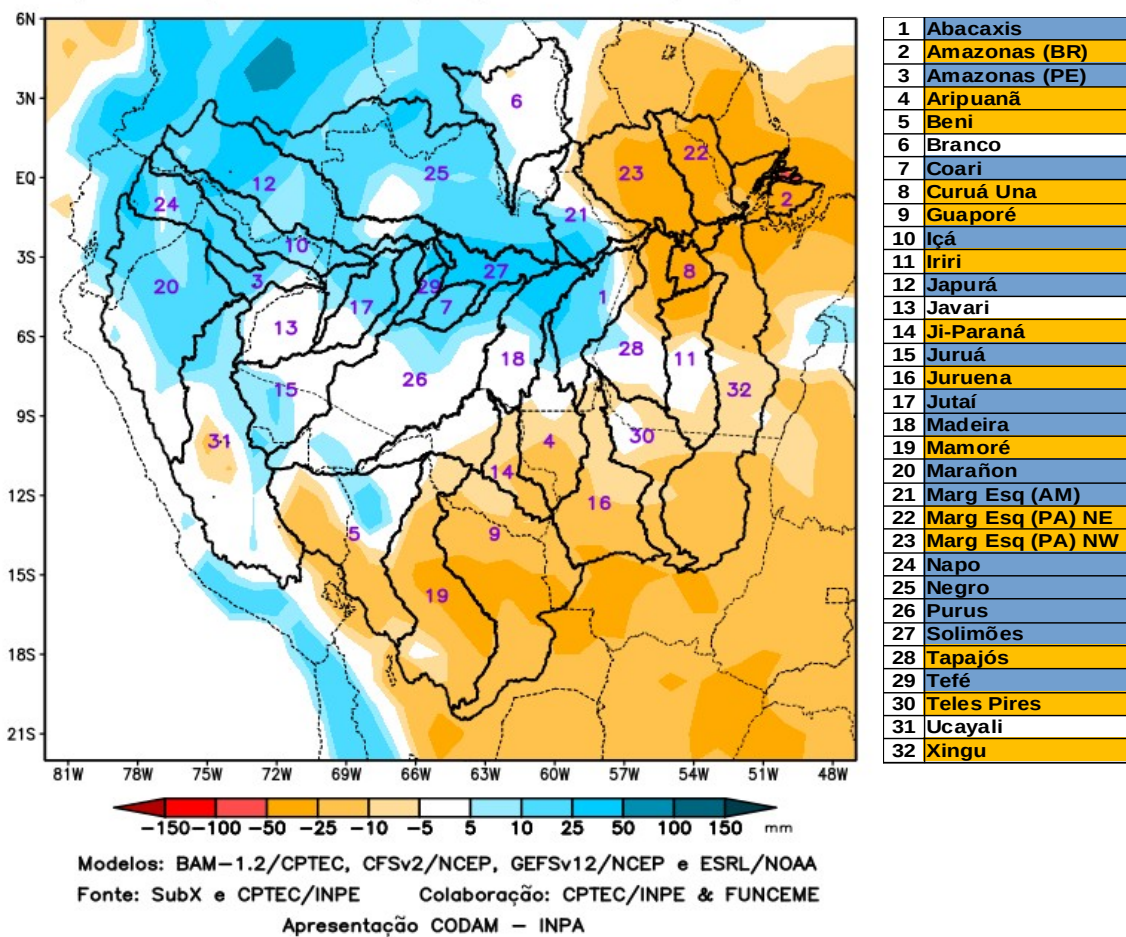


A climatologia do período em análise indica chuvas com registros variando entre **246 e 271 mm** sendo considerados normais (referência quantis 42.5% e 57.5%). Em **11 de fevereiro de 2026**, foram observados **209 mm** de precipitação média acumulada sobre a bacia em 30 dias, no cálculo da média do índice de anomalia categorizada na área da bacia o valor de **-1.3**, classifica a bacia em condição de **seco**. Nas próximas semanas o comportamento climático indica **elevação** dos volumes de chuva, o modelo de prognóstico subsazonal sugere um comportamento **seco ou tendência a muito seco**.

Previsão multimodelo subsazonal CPTEC/INPE-FUNCEME produzida em 10/02/2026 para os próximos 7 e 14 dias.

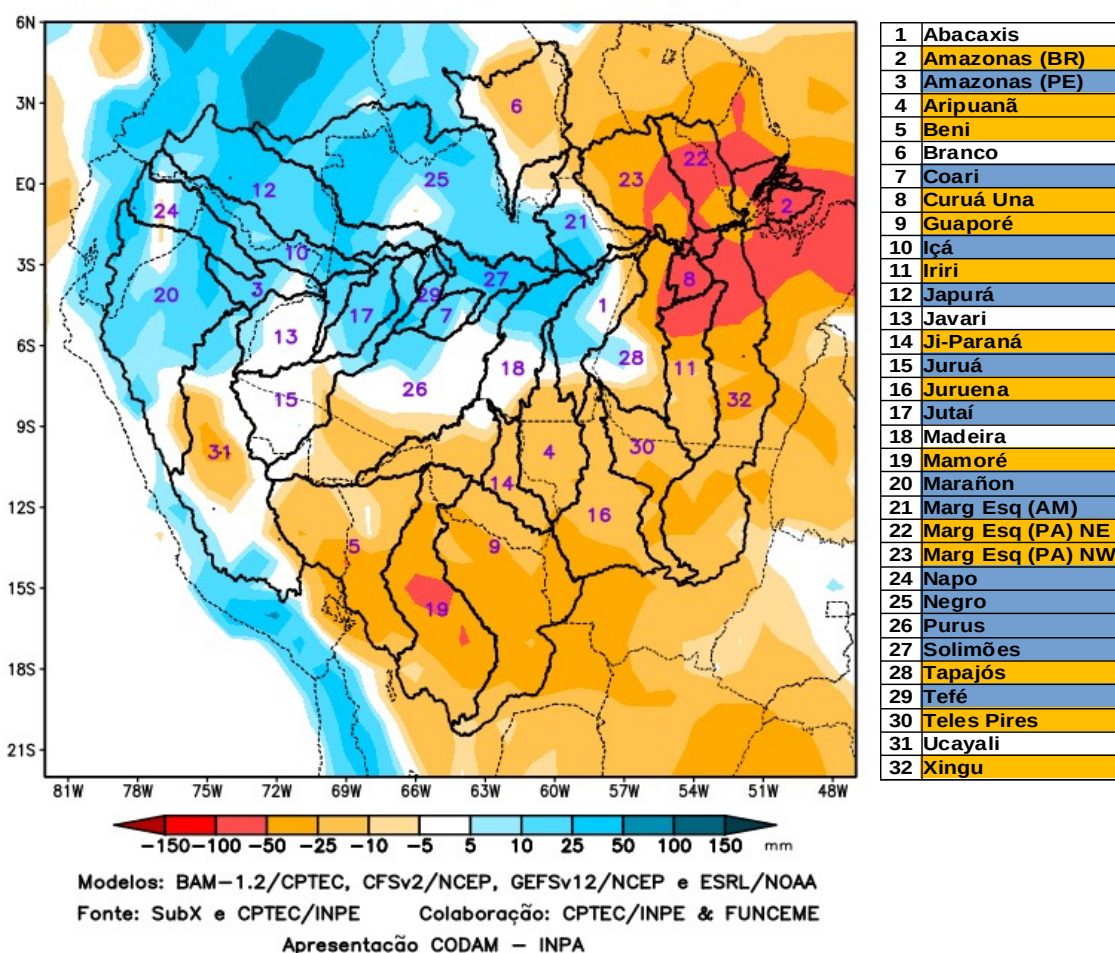
A previsão multimodelo subsazonal calibrada CPTEC/INPE-FUNCEME é gerada através de cooperação científica entre o CPTEC/INPE e a FUNCEME, sendo proveniente do conjunto de 4 modelos globais (um modelo brasileiro, o BAM-1.2/CPTEC, e três modelos dos EUA, CFSv2/NCEP, GEFSv12/NCEP e ESRL/NOAA, estes três últimos do projeto SubX). As anomalias de precipitação previstas são determinadas em relação ao período climatológico de 1999 a 2016. A seguir são apresentadas as saídas para o intervalo de previsão de 07 e 14 dias detalhando o comportamento previsto sobre as bacias de interesse.

PREVISÃO SUBSAZONAL – MULTIMODELO CALIBRADO
Anomalia (mm) de Precipitação Acumulada
(07 Dias) Período: 11/02/2026 – 17/02/2026



A Figura acima, apresenta o prognóstico para o intervalo de 7 dias entre 11/02/2026 e 17/02/2026, previsão de anomalias positivas de precipitação (azul) sobre o curso principal do Rio Amazonas em território peruano, bacias dos rios Abacaxis, Coari, Içá, Japurá, Juruá, Jutaí, Madeira, Marañon, bacias da margem esquerda do Rio Amazonas no nordeste do Estado do Amazonas, Napo, Negro, Purus, Tefé e o curso principal do Rio Solimões. Previsão de déficit de precipitação (laranja) sobre o curso principal do Rio Amazonas em território brasileiro, bacias dos rios Aripuanã, Beni, Curuá Una, Guaporé, Iriri, Ji-Paraná, Juruena, Mamoré, bacias da margem esquerda do Rio Amazonas no nordeste e no noroeste do Estado do Pará, Tapajós, Teles Pires e Xingu. Previsão de chuvas próximas a climatologia (branco) sobre as demais bacias monitoradas.

PREVISÃO SUBSAZONAL-MULTIMODELO CALIBRADO
 Anomalia (mm) de Precipitação Acumulada
 (14 Dias) Período: 11/02/2026 - 24/02/2026



A Figura acima, apresenta o prognóstico para o intervalo de 14 dias entre 11/02/2026 e 24/02/2026, previsão de déficit de precipitação (laranja) sobre o curso principal do Rio Amazonas em território brasileiro, bacias dos rios Aripuanã, Beni, Curuá Una, Guaporé, Iriti, Ji-Paraná, Juruena, Mamoré, bacias da margem esquerda do Rio Amazonas no nordeste e no noroeste do Estado do Pará, Tapajós, Teles Pires e Xingu. Previsão de anomalias positivas de precipitação (azul) sobre o curso principal do Rio Amazonas em território peruano, bacias dos rios Coari, Içá, Japurá, Juruá, Jutaí, Marañon, bacias da margem esquerda do Rio Amazonas no nordeste do Estado do Amazonas, Napo, Negro, Purus, Tefé e o curso principal do Rio Solimões. Previsão de chuvas próximas a climatologia (branco) sobre as demais bacias monitoradas.

Valores de Referência para a precipitação acumulada em 30 dias na data da análise.

A Tabela 1, mostra os valores de precipitação média acumulada (mm de chuva) por bacia, tomando como base as estimativas de precipitação por meio de imagens de satélite, produto denominado MERGE/GPM, disponibilizado pelo Instituto Nacional de Pesquisas Espaciais, no período 2000 – 2025, levando-se em conta o limite geográfico das bacias hidrográficas da Amazônia, para tanto foi utilizada a técnica de quantis, por se mostrar uma ferramenta adequada e precisa para categorizar precipitação e anomalias de variáveis discretas, foram adotados os seguintes limiares 5%, 12.5%, 20%, 27.5%, 35%, 42.5%, 57.5%, 65%, 72.5%, 80%, 87.5% e 95% buscando estratificar a técnica e permitir uma categorização mais detalhada das condições em cada bacia monitorada.

11/02/2026	Quantis para categorização de anomalias de precipitação											
	5.0%	12.5%	20.0%	27.5%	35.0%	42.5%	57.5%	65.0%	72.5%	80.0%	87.5%	95.0%
Abacaxis	113	158	188	209	227	244	271	290	311	333	365	410
Amazonas (BR)	148	178	199	215	231	246	271	288	308	331	359	412
Amazonas (PE)	153	193	216	233	250	268	298	325	350	384	433	496
Aripuanã	138	179	204	222	240	259	289	309	331	356	389	440
Beni	141	172	194	211	227	243	270	290	313	339	377	442
Branco	7	13	19	24	30	36	48	59	73	91	113	150
Coari	154	178	201	222	244	261	290	311	333	362	396	448
Curuá Una	100	124	141	154	170	187	211	228	250	272	303	343
Guaporé	90	117	135	152	169	185	210	227	247	271	303	359
Içá	113	148	168	185	203	220	248	271	298	330	369	429
Iriri	130	176	201	220	238	255	281	301	323	348	383	445
Japurá	86	114	131	147	162	177	201	218	239	262	294	357
Javari	141	176	198	217	236	256	287	307	330	357	387	434
Ji-Paraná	118	163	191	209	226	241	266	284	306	333	367	420
Juruá	135	165	184	206	227	247	276	296	319	346	379	430
Juruena	142	174	197	216	233	250	276	297	319	345	380	437
Jutaí	168	197	231	260	282	302	336	358	382	408	446	508
Madeira	128	162	187	207	226	244	271	290	311	333	361	405
Mamoré	113	138	159	177	195	213	242	264	289	318	360	429
Marañon	65	90	108	125	142	157	180	196	214	236	264	305
Marg Esq (AM)	59	92	118	142	168	189	215	232	251	272	300	351
Marg Esq (PA) NE	93	124	142	154	166	177	197	210	225	243	268	312
Marg Esq (PA) NW	70	94	111	126	141	156	179	195	214	239	269	313
Napo	71	111	134	154	172	188	214	234	259	292	340	412
Negro	77	105	127	145	162	179	204	222	243	270	307	366
Purus	153	185	209	230	249	268	296	316	339	365	398	444
Solimões	134	167	192	214	236	259	292	318	341	368	402	449
Tapajós	131	171	200	221	240	258	286	304	324	346	378	431
Tefé	168	189	208	229	253	280	315	336	360	390	426	478
Teles Pires	153	184	206	224	241	258	284	303	325	353	389	449
Ucayali	90	113	129	144	158	173	197	214	234	256	284	327
Xingu	132	163	185	203	220	237	263	283	306	332	372	441

Tabela 1. Quantis de precipitação acumulada (mm) em 30 dias (13 de janeiro a 11 de fevereiro), Climatologia do período (2000 - 2025) dados MERGE/GPM – INPE/CPTEC.

Categorização das anomalias de precipitação

Utilizando os valores constantes na tabela anterior é possível categorizar a precipitação observada no ano corrente em relação aos valores observados nos registros anteriores desde o início da série disponível, assim os valores observados inferiores ao quantil de 5% caracterizam a bacia em condição de extremamente seco, entre 5 e 12.5% em condição de tendência a extremamente seco, entre 12.5 e 20% condição de muito seco, entre 20 e 27.5% tendência a muito seco, entre 27.5 e 35% condição de seco, entre 35 e 42.5 condição de tendência a seco, valores entre 42.5 e 57.5 definem a condição de normalidade, valores entre 57.5 e 65% condição de tendência a chuvoso, entre 65 e 72.5% condição de chuvoso, entre 72.5 e 80% tendência a muito chuvoso, entre 80 e 87.5 condição de muito chuvoso, entre 87.5 e 95% indicam tendência a extremamente chuvoso e finalmente valores superiores a 95% definem a bacia em condição de extremamente chuvoso, conforme legenda abaixo.

QUANTIL	5.0%	12.5%	20.0%	27.5%	35.0%	42.5%		57.5%	65.0%	72.5%	80.0%	87.5%	95.0%
INDICE	-3.0	-2.5	-2.0	-1.5	-1.0	-0.5	0.0	0.5	1.0	1.5	2.0	2.5	3.0
CATEGORIA	EXTREMAMENTE SECO	TENDÊNCIA A EXTREMAMENTE SECO	MUITO SECO	TENDÊNCIA A MUITO SECO	SECO	TENDÊNCIA A SECO	NORMAL	TENDÊNCIA A CHUVOSO	CHUVOSO	TENDÊNCIA A MUITO CHUVOSO	MUITO CHUVOSO	TENDÊNCIA A EXTREMAMENTE CHUVOSO	EXTREMAMENTE CHUVOSO

As tabelas a seguir apresentam (Tabela 2A) a precipitação média observada (mm) em cada bacia tomando como referência as estimativas de precipitação por satélite utilizando a técnica MERGE, acumuladas em 30 dias nas datas indicadas, disponibilizadas em <http://ftp.cptec.inpe.br/modelos/tempo/MERGE/GPM/DAILY/> os valores médios das anomalias categorizadas (Tabela 2B) foram estimados com base no valor de anomalia de cada pixel na área da bacia monitorada, calculados conforme metodologia descrita no item anterior, nas mesmas datas do monitoramento da precipitação, a escala de cores das anomalias segue a legenda descrita.

	Precipitação acumulada média na bacia (mm)				
	14/01/2026	21/01/2026	28/01/2026	04/02/2026	11/02/2026
Abacaxis	202	189	217	205	223
Amazonas (BR)	111	103	130	144	209
Amazonas (PE)	205	214	260	320	311
Aripuanã	246	232	247	226	264
Beni	279	309	290	300	274
Branco	27	27	30	40	32
Coari	181	188	226	236	236
Curuá Una	126	113	108	98	119
Guaporé	151	143	120	129	123
Içá	201	217	223	264	256
Iriri	206	202	225	201	192
Japurá	162	166	169	198	174
Javari	184	184	248	288	274
Ji-Paraná	207	201	254	249	233
Juruá	244	252	256	255	239
Juruena	235	242	236	206	236
Jutai	236	258	222	241	243
Madeira	247	255	266	273	254
Mamoré	219	195	159	162	130
Marañon	157	172	198	238	216
Marg Esq (AM)	194	169	186	176	185
Marg Esq (PA) NE	76	80	88	93	132
Marg Esq (PA) NW	89	79	95	92	126
Napo	145	157	208	258	231
Negro	167	176	206	219	185
Purus	270	277	282	287	244
Solimões	228	240	233	242	235
Tapajós	183	179	204	189	205
Tefé	203	254	277	306	312
Teles Pires	215	191	213	222	241
Ucayali	152	187	215	260	249
Xingu	200	165	182	174	180

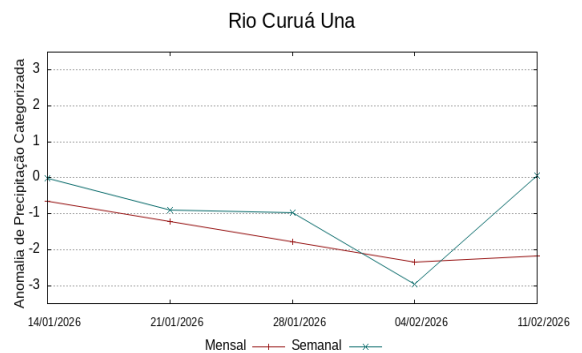
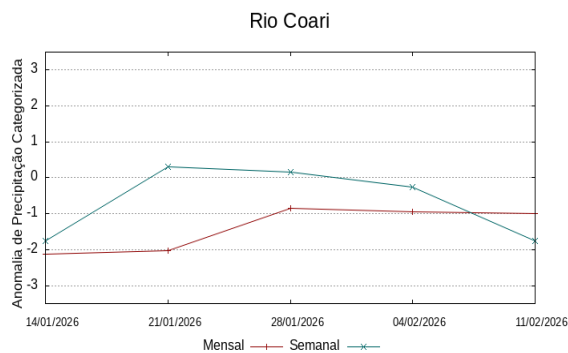
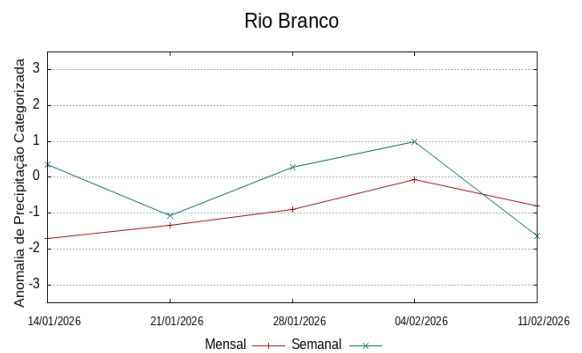
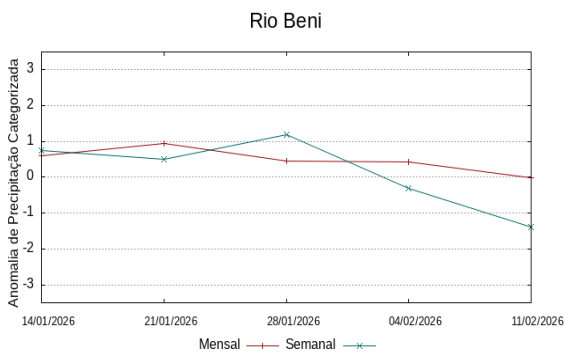
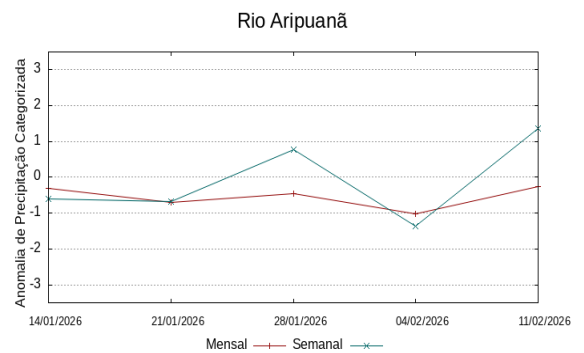
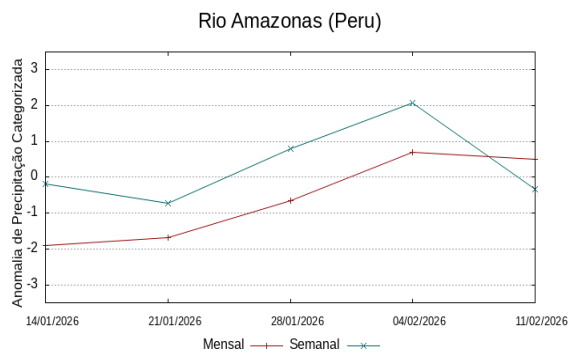
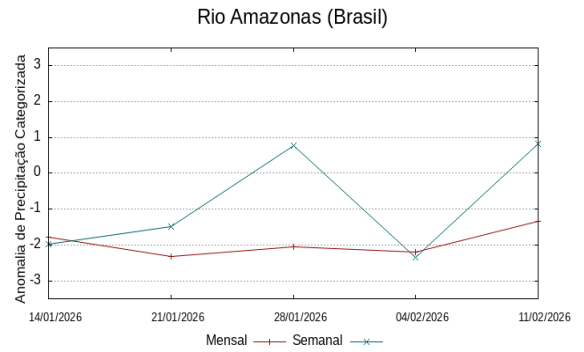
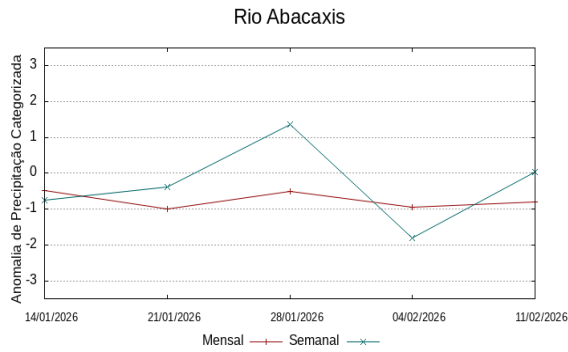
Tabela 2A. Precipitação acumulada em 30 dias (mm), de dados MERGE/GPM – INPE/CPTEC.

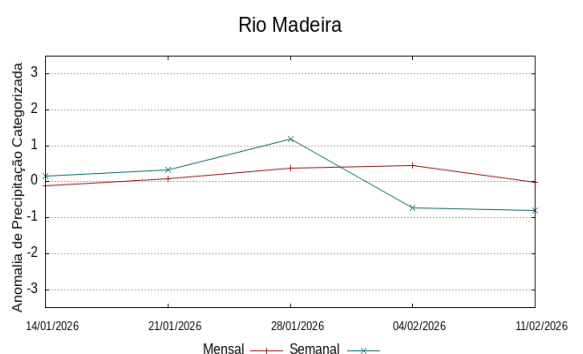
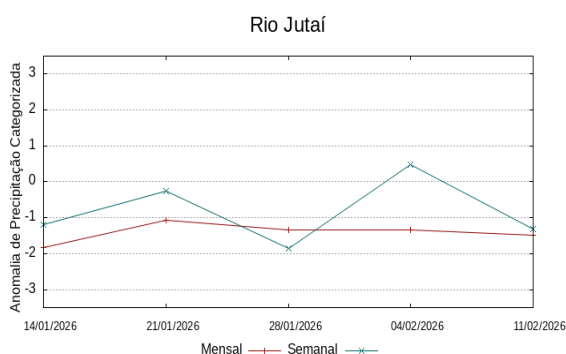
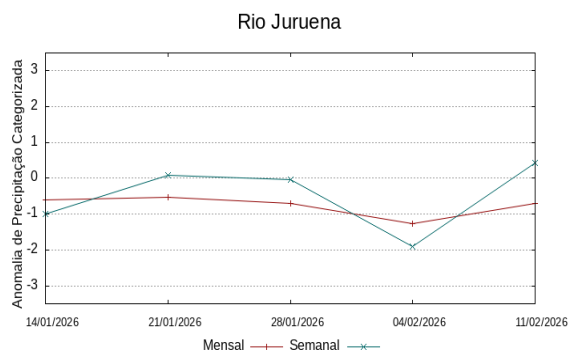
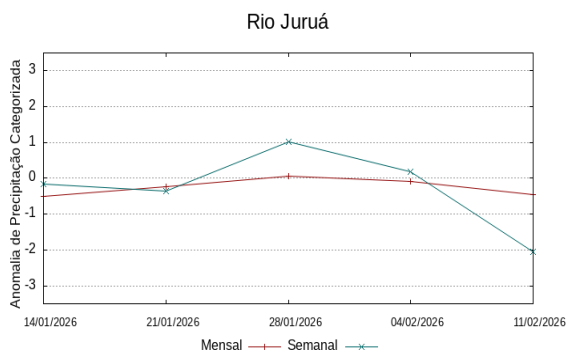
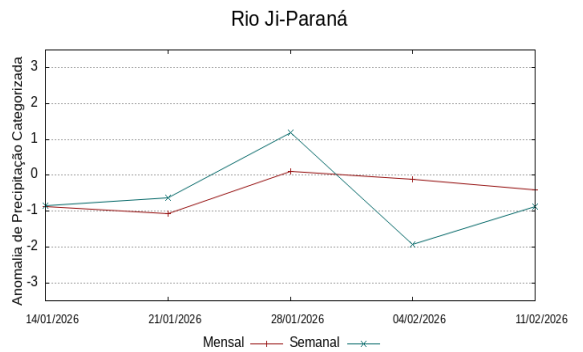
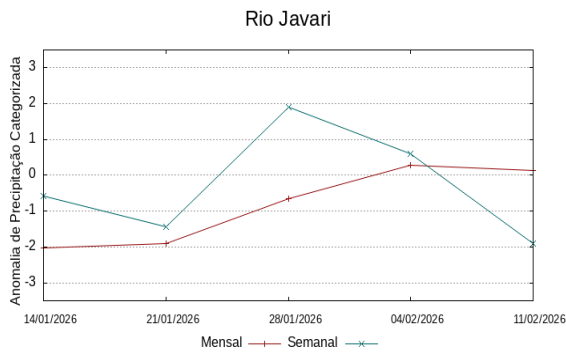
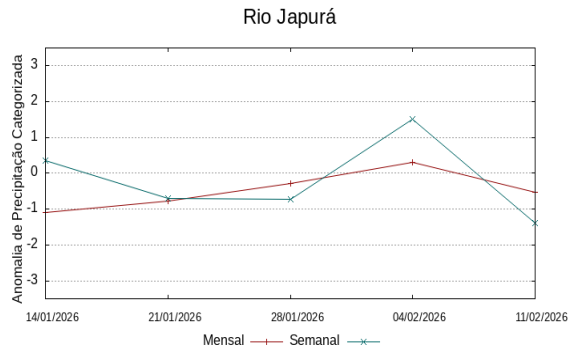
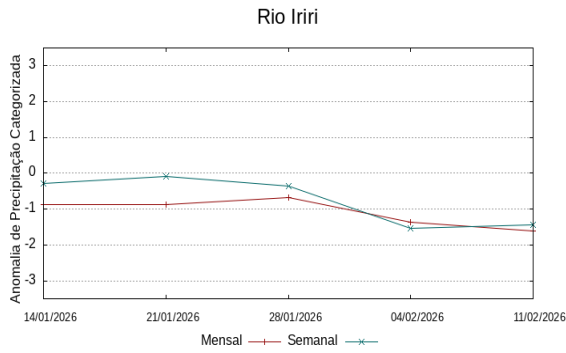
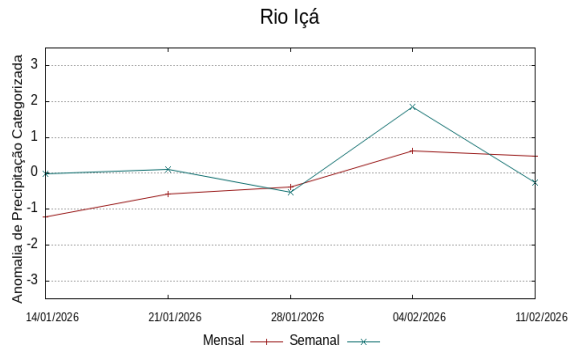
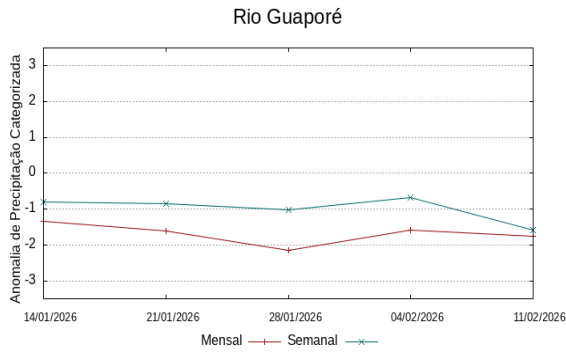
	Anomalia categorizada média na bacia				
	14/01/2026	21/01/2026	28/01/2026	04/02/2026	11/02/2026
Abacaxis	-0.5	-1.0	-0.5	-0.9	-0.8
Amazonas (BR)	-1.8	-2.3	-2.1	-2.2	-1.3
Amazonas (PE)	-1.9	-1.7	-0.7	0.7	0.5
Aripuanã	-0.3	-0.7	-0.5	-1.0	-0.3
Beni	0.6	0.9	0.5	0.4	0.0
Branco	-1.7	-1.3	-0.9	-0.1	-0.8
Coari	-2.1	-2.0	-0.9	-1.0	-1.0
Curuá Una	-0.7	-1.2	-1.8	-2.3	-2.2
Guaporé	-1.3	-1.6	-2.2	-1.6	-1.8
Içá	-1.2	-0.6	-0.4	0.6	0.5
Iriri	-0.9	-0.9	-0.7	-1.4	-1.6
Japurá	-1.1	-0.8	-0.3	0.3	-0.5
Javari	-2.0	-1.9	-0.6	0.3	0.1
Ji-Paraná	-0.9	-1.1	0.1	-0.1	-0.4
Juruá	-0.5	-0.2	0.1	-0.1	-0.4
Juruena	-0.6	-0.5	-0.7	-1.3	-0.7
Jutai	-1.8	-1.1	-1.3	-1.3	-1.5
Madeira	-0.1	0.1	0.4	0.4	0.0
Mamoré	-0.3	-0.9	-1.7	-1.5	-2.1
Marañon	0.2	0.5	1.1	1.8	1.3
Marg Esq (AM)	0.4	-0.3	0.1	-0.2	-0.3
Marg Esq (PA) NE	-2.1	-2.2	-2.2	-2.4	-1.8
Marg Esq (PA) NW	-1.3	-1.8	-1.6	-1.8	-1.3
Napo	-1.8	-1.3	0.2	1.1	0.6
Negro	-0.8	-0.4	0.6	0.8	-0.2
Purus	-0.2	0.0	0.1	0.1	-0.9
Solimões	-1.0	-0.7	-0.5	-0.5	-0.8
Tapajós	-1.2	-1.4	-1.1	-1.6	-1.5
Tefé	-2.2	-0.9	-0.2	0.4	0.3
Teles Pires	-1.4	-1.8	-1.3	-1.1	-0.7
Ucayali	-1.0	0.0	0.8	1.7	1.4
Xingu	-0.7	-1.6	-1.4	-1.7	-1.7

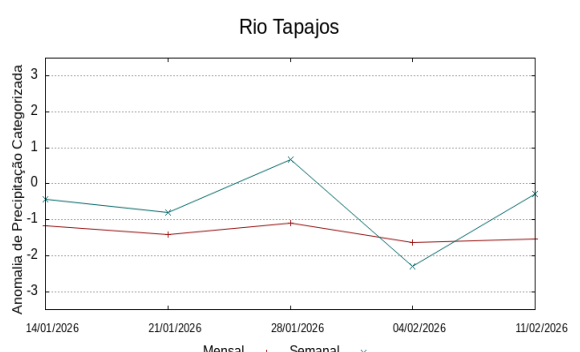
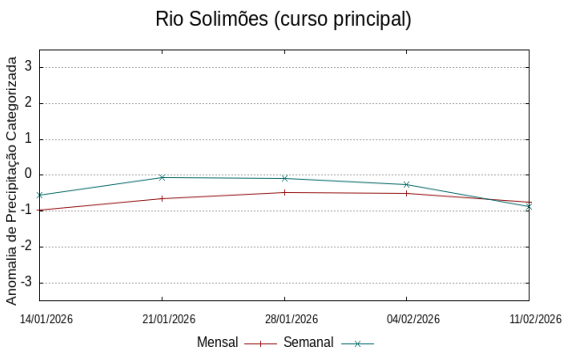
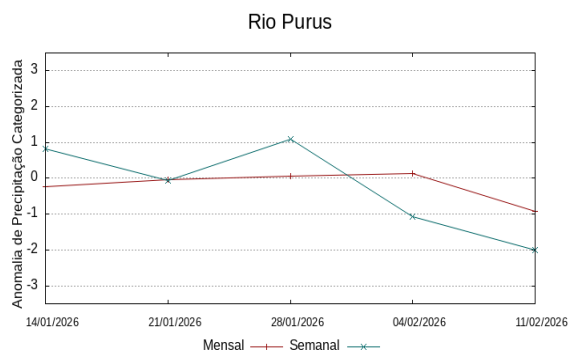
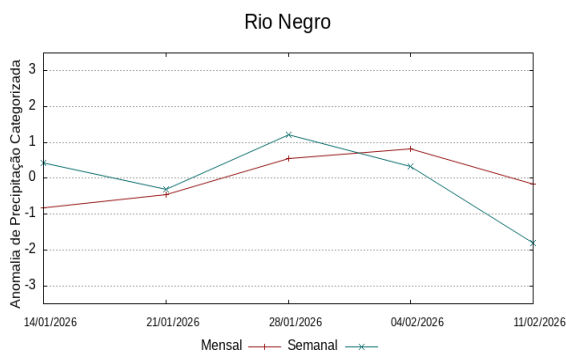
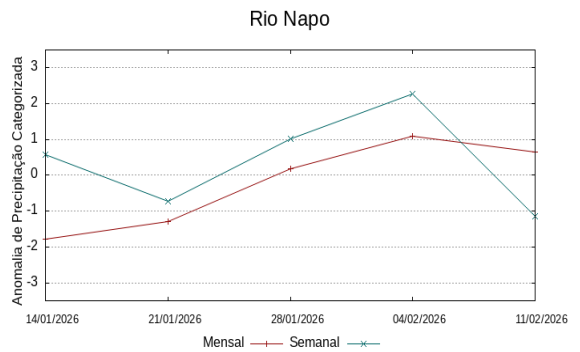
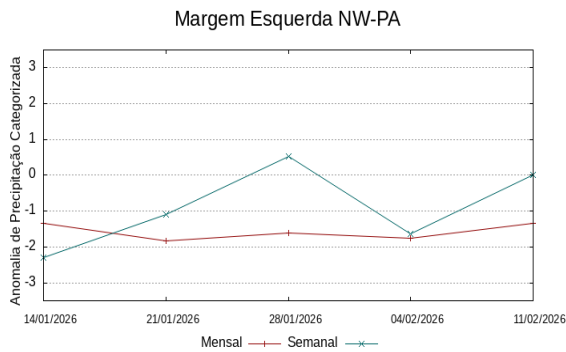
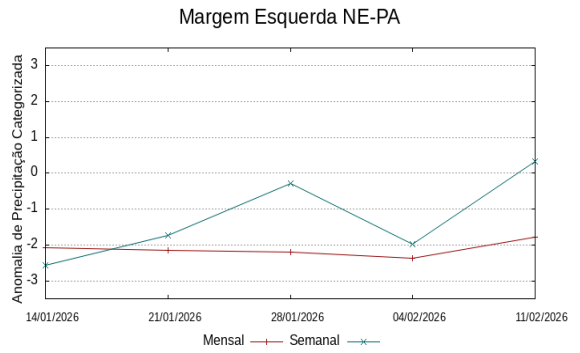
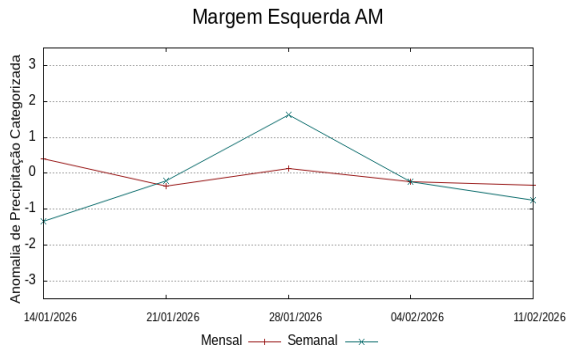
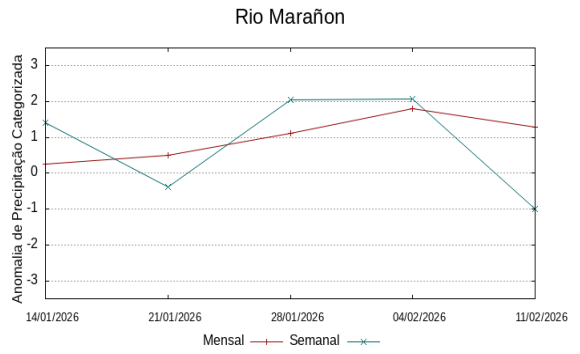
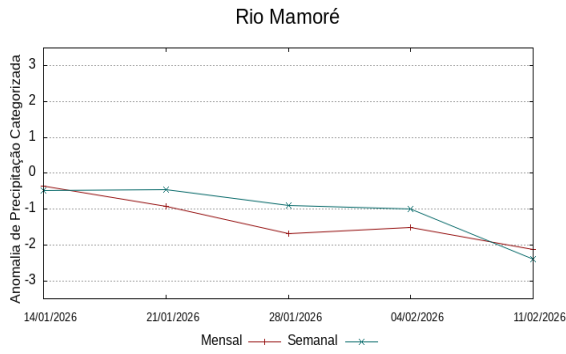
Tabela 2B. Anomalia Categorizada Precipitação por quantis.

Comportamento das anomalias 07 e 30 dias observado nas semanas anteriores

Os gráficos a seguir ilustram o comportamento do índice das anomalias de precipitação nas últimas semanas, linhas vermelhas mostram o comportamento de períodos de 30 dias e linhas em azul o comportamento em relação a períodos de 7 dias, atualizados semanalmente.







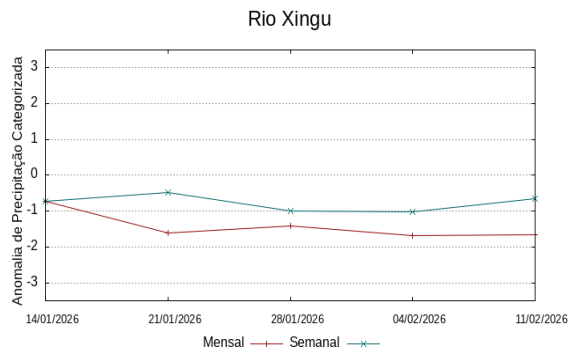
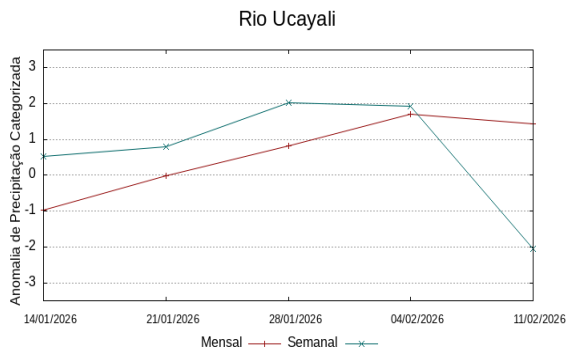
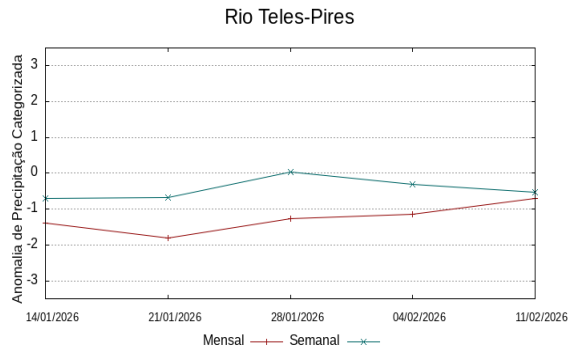
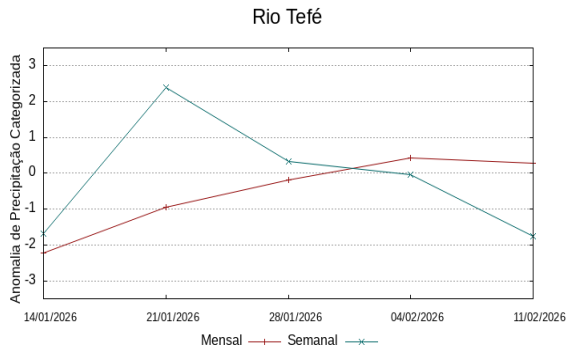
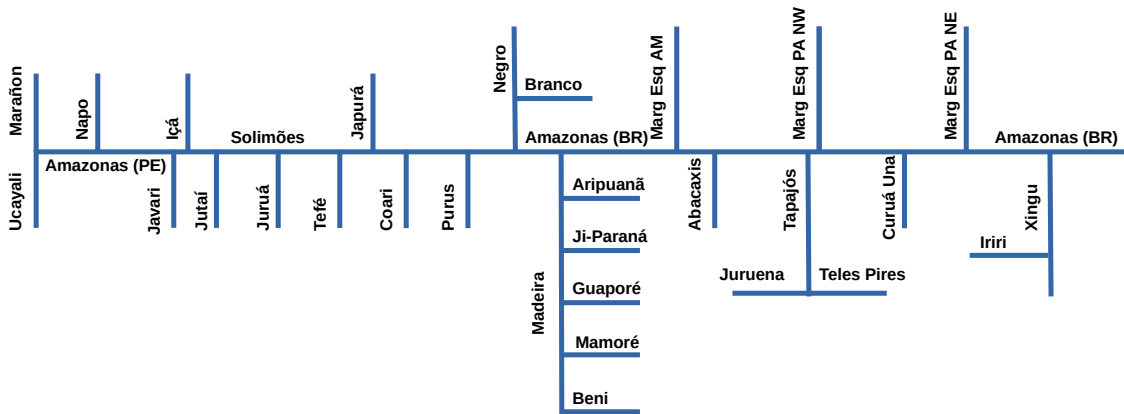


Diagrama unifilar das bacias representadas



Renato Cruz Senna

Pesquisador - CODAM

Meteorologista, CREA-AM 2880-D

Registro Nacional 040459935-4

Fone de contato +55 92 3643 3170

